■ 生物化学与生物物理进展 Progress in Biochemistry and Biophysics 2022,49(6):1061~1074 www.pibb.ac.cn



内皮细胞电压门控钙离子通道及其 功能研究进展*

李双君1) 潘 君2) 崔玉红1)**

(1) 天津大学机械工程学院, 天津 300350; 2) 重庆大学生物工程学院, 重庆 400044)

摘要 内皮细胞 (endothelial cell, EC) 作为不可兴奋细胞,早前通常被认为缺乏功能性电压门控钙离子通道 (voltagegated calcium channel, VGCC), 如人脐静脉内皮细胞、牛肺动脉内皮细胞、牛主动脉内皮细胞等。随着膜片钳技术、荧光 显微技术、聚合酶链式反应(PCR)技术的发展,越来越多的VGCC在各种内皮细胞中被发现,如人主动脉内皮细胞、大 鼠主动脉内皮细胞、大鼠肺微血管内皮细胞等。目前对于VGCC存在与否主要有3种检测方法:利用膜片钳技术对离子通 道电流的检测、利用荧光显微技术对胞内钙离子浓度变化的检测、利用PCR技术对离子通道基因或蛋白质表达的检测。内 皮细胞不单单是血液和其他相邻组织细胞及基质蛋白间的物理屏障、更重要的是通过细胞膜上VGCC的开放和关闭对细胞 和血管组织的牛理变化产牛显著的影响。一方面、VGCC对胞内钙离子浓度变化的影响、控制着一氧化氮(NO)等血管舒 张因子的释放,调节血管张力的平衡。另一方面,作为钙离子内流重要途经的 VGCC, 经过 Ras 和 MEK 通路的诱导、磷酸 化 PI3K 和 Akt 通路,影响内皮细胞迁移和增殖。此外,部分生理现象,如血管内压力产生的机械应变和血流相关的剪切应 力通过激活机械小体,导致Kap通道关闭,引起内皮细胞膜去极化的方式激活VGCC、部分受体、配体的结合及离子通道的 开闭需要 VGCC 的参与,如激活剂为缓激肽的钾离子通道的开闭,激活剂为组胺的阳离子通道的开闭等。总之,鉴于 VGCC 具有调控内皮细胞兴奋性、分泌、迁移等重要功能,对其深入而广泛的研究对揭示并治疗诸如原发性高血压、动脉 粥样硬化等内皮功能性疾病有十分重要的意义。

关键词 内皮细胞, 电压门控钙离子通道, 钙离子浓度, 血管内皮舒张和收缩, 细胞兴奋和迁移 中图分类号 Q27, Q63 **DOI:** 10.16476/j.pibb.2021.0118

自世界首次记录心肌细胞存在钙离子电流以 来[1-2],随着膜片钳技术的创造与发展,越来越多 的钙离子电流和电压门控钙离子通道 (voltagegated calcium channel, VGCC) 在神经元和神经内 分泌细胞、腺细胞、肌细胞、心肌细胞等可兴奋细 胞中被发现^[3-4],人们对于VGCC的电生理特性和 功能有了一定的认识。VGCC通过细胞膜去极化激 活,并通过响应动作电位和亚阈值去极化信号介导 钙离子内流。钙离子通过 VGCC 进入细胞,作为 电信号的第二信使,在细胞内的收缩、分泌、突触 传递和基因表达等事件中发挥重要作用[5]。随着 深入研究, VGCC 的各种不同亚型也被发现和定 义,根据电生理学及药理学特性不同,可将其分 为: a. 高电压激活钙离子通道,包括L、N、P/Q及 R型VGCC; b. 低电压激活钙离子通道, 只有T型 VGCC。VGCC 是跨膜蛋白复合体,由α1、β、 α2δ、γ4个亚基组成。α1亚基是VGCC的主要亚 基;β、α2δ、γ是辅助性亚基,用于调节α1亚基功 能,从而改变钙离子内流数量(图1)。目前,根 据α1亚基基因序列的同源性不同又可分为Cav1、 Cav2、Cav3。其中, Cav1包括Cav1.1 (α1S)、 Cav1.2 (α 1C) \ Cav1.3 (α 1D) \ Cav1.4 (α 1F), 全部编码 L型 VGCC。Cav2 包括 Cav2.1 (α1A)、

Tel: 022-27404934, E-mail: yhcui@tju.edu.cn 收稿日期: 2021-06-22, 接受日期: 2021-07-26

^{*} 国家自然科学基金(11972252)和天津市自然科学基金 (17JCYBJC29300) 资助项目。

^{**} 通讯联系人。

Cav2.2 (α1B)、Cav2.3 (α1E), 分别编码 P/Q、N、R 型 VGCC。Cav3 包括 Cav3.1 (α1G)、

Cav3.2 (α1H)、Cav3.3 (α1I), 全部编码T型 VGCC [6-7]。

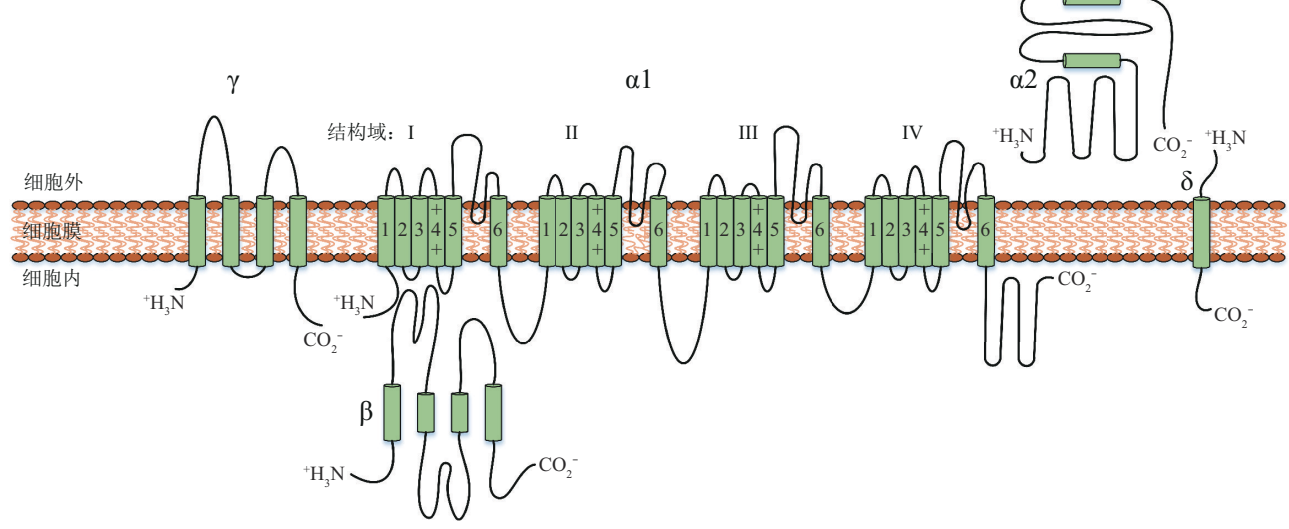


Fig. 1 The subunit structure and membrane topology of VGCC $^{[5]}$ 图1 VGCC的亚基结构和膜拓扑结构 $^{[5]}$

VGCC通道由主要 α 1亚基和辅助 α 2δ、 β 和 γ 亚基组成。 α 2δ和 γ 亚基包含跨膜结构域,而 β 亚基完全处于胞内。所有3个辅助亚基直接与 α 1亚基相互作用,辅助亚基之间不相互作用。

对于神经细胞、骨骼肌细胞等兴奋性细胞而言,膜表面的离子通道尤其是VGCC是细胞兴奋和功能发挥的分子基础 [3-4]。与诸多可兴奋细胞不同的是,作为不可兴奋细胞的内皮细胞通常被认为缺乏VGCC [8-11]。早在1980年代即有人通过电压钳或膜片钳技术对人脐静脉内皮细胞 [12-13]、牛肺动脉内皮细胞等进行电生理学研究 [14-15],发现它们不具有VGCC。到了1990年代,牛心房内膜内皮细胞 [16]、猪冠状动脉内皮细胞 [17] 等也相继被发现不存在VGCC。

然而,伴随着荧光染色技术和数字成像显微观测技术的发展,这一长期存在的观点受到了挑战。首先,1993年,Bkaily等^[18]发现人和成年杂种犬主动脉内皮细胞存在R型VGCC,同时也参与周围细胞的兴奋-分泌耦合过程,打破了由来已久的笼统共识。随后,Lee等^[19]在1999年发现大鼠心脏内皮细胞存在VGCC,Yazawa等^[20]在2002年发现人主动脉内皮细胞存在VGCC。众多不同种类内皮细胞不断的被发现存在VGCC。

内皮细胞是否存在 VGCC? 本文就 VGCC 在不同种类血管内皮细胞的研究进展作以综述。同时,相关研究表明内皮细胞 VGCC 对内皮细胞自身的分泌、周围细胞(平滑肌细胞)的收缩和舒张以及迁

移和增殖方面均有显著的影响,本文也将进行简要阐述。

1 内皮细胞的VGCC及分类

目前对于VGCC主要有3种检测方法:

a. 离子通道电流的检测

VGCC由细胞膜去极化激活,产生钙离子内向电流。应用膜片钳技术,对膜片实行电压钳制,模拟细胞膜去极化。若测量到单个离子通道开放产生的电流,说明VGCC存在;反之则不存在。通过观测单个通道开放和关闭的电流变化,可直接得到各种离子通道开放的电流幅值分布、开放几率、开放寿命、分布等功能参量,并分析它们与膜电位、离子浓度等之间的关系。其他几个主要的钙离子通道的激活均与膜电位变化无关,包括受体操纵钙通道(receptor-operated Ca²+ channel,ROC)、钙池调控钙通道(store-operated Ca²+ channel,SOC)、机械敏感性钙通道(mechano-sensitive Ca²+ channel,MS)等。

b. 胞内钙离子浓度变化的检测

VGCC激活的另一个特征是胞内钙离子浓度显著 提 高 。 应 用 VGCC 阻 滞 剂 诸 如 地 尔 硫 卓 (diltiazem, DTZ)、依福地平 (efonidipine)、硝苯

地平(nifedipine)等对细胞膜已去极化的内皮细胞进行处理,利用 fura-2、fluo-3等荧光指示剂对胞内钙离子浓度进行检测。若阻滞剂处理后胞内钙离子浓度提高被阻断,则表明 VGCC 存在。

c. 离子通道基因、蛋白质表达的检测

目前对 VGCC 在基因和蛋白质层面上有了深入的了解,认为去极化激活钙离子电流形成的分子基础是编码 VGCC 的基因家族,包括 Cav1、Cav2、Cav3等。应用实时定量 PCR 技术进行检测,不但可以检测 VGCC 通道是否表达,还可以从基因的角度明确通道类型,如 Cav1.1 编码 L型 VGCC、Cav2.1 编码 P/Q型 VGCC、Cav3.1 编码 T型 VGCC等。另外,免疫组织化学染色法也可以对 VGCC在细胞中的表达进行检测,进一步观察到通道在细胞膜上不同位置的分布特点。

根据探究问题的不同,以上3种检测方法还可以联合使用。由于内皮细胞的形态和功能特征因血管类型和血管范围的不同而不同^[21]。因此,就目前所调研的文献而言,根据内皮细胞所处组织不同分为以下4类分别进行阐述其研究进展。

1.1 静脉内皮细胞

20世纪80年代早期,由于技术手段上的困难, 关于完整组织或培养的内皮细胞中VGCC存在与 否的报道很少[12]。膜片钳技术和荧光显微技术的 发展及培养的内皮细胞可用性的提高, 使得众多学 者获得了人脐静脉内皮细胞不存在 VGCC 的结 论^[12-13, 22-23]。例如, Bregestovski等^[12]在1988年采 用全细胞膜片钳技术和单通道膜片钳技术研究了人 脐静脉内皮细胞对组胺的膜响应, 在宏观或单通道 水平上都没观察到电压门控钙离子电流,表明 VGCC 不存在于人脐静脉内皮细胞中。Niluus 等[22] 在1990年采用膜片钳技术研究了人脐静脉内 皮细胞的离子通道, 其电生理特性结果表明 VGCC 不存在。Vargas 等 [23] 在 1994 年发现去极化的电压 钳脉冲不能激活内向电流,表明在人脐静脉内皮细 胞中缺乏 VGCC。然而,人脐静脉内皮细胞存在 VGCC的结论也有报道。2010年, Martini 等 [24] 对 血管紧张素 II (angiotensin II, Ang II) 通过不同的 机制诱导细胞内Ca²⁺的变化进行实时监控,结果表 明 Ang II 通过 T型 VGCC 和 L型 VGCC 调节胞内 Ca²⁺浓度,但仅通过T型VGCC的钙内流调节内皮 细胞的迁移,证实人脐静脉内皮细胞含有L和T型 VGCC_o

1.2 动脉内皮细胞

动脉内皮细胞是否存在VGCC的研究率先在 动物动脉内皮细胞中开展。1987年, Johns 等[14] 应用膜片钳技术发现去极化没有激活内向电流,这 强烈表明在培养的牛肺动脉内皮细胞中, 没有功能 性电压门控钙或钠通道。同年, Takeda 等 [25] 在膜 片钳记录中发现存在一种超极化激活的内向电流和 强烈的内向整流,并且该细胞亚群的去极化过程没 有观察到依赖电压的钙离子电流, 因此推测出牛主 动脉内皮细胞不存在VGCC。同样应用膜片钳技 术, Colden-Stanfield 等 [26] 将细胞置于 10 mmol/L 或 110 mmol/L 的氯化钙中, 电压敏感的钙电流没 有被激活,表明牛主动脉内皮细胞不存在 VGCC。 1989年, Bregestovski 等[13] 也提到, 牛肺动脉内 皮细胞、牛主动脉内皮细胞的膜片钳探测结果表明 它们不存在VGCC。同年, Cannell等[15]将膜片钳 技术与Ca2+荧光显微技术联合运用于牛肺动脉内皮 细胞的研究,发现去极化降低而不是增加胞内 Ca2+ 浓度,这有力地表明牛肺动脉内皮细胞中不存在 VGCC。1992年,Kimura等[17]对猪冠状动脉内皮 细胞内Ca²⁺浓度进行检测,结果显示VGCC不参与 持续大量增加的胞内钙离子相关的细胞损伤的发 生,表明猪冠状动脉内皮细胞不存在 VGCC。1993 年, Bkaily等[18]应用荧光染色技术和数字显微技 术对犬类主动脉内皮细胞进行研究,结果显示 K+ 去极化和血小板活化因子 (platelet activating factor, PAF) 通过激活 R型 VGCC 增加胞内钙离 子浓度, 表明犬类主动脉内皮细胞存在R型 VGCC。近几年,关于动物动脉内皮细胞 VGCC的 研究多见于鼠动脉内皮细胞。2017年, Gilbert 等[27] 应用免疫荧光法的结果显示野生型小鼠的内 皮细胞中存在与内皮一氧化氮合酶共定位的Cav3.1 通道。该研究表明, 小鼠肺动脉内皮细胞存在T型 VGCC, 主要通过Cav3.1通道,控制内皮细胞Ca²⁺ 和乙酰胆碱(acetylcholine,Ach)介导的舒张作 用,促进小鼠肺内血管反应。2020年, Cao 等 [28] 发现无 Ca2+的 Krebs 溶液显著减弱了花椒毒素 (xanthotoxin, XAT) 诱导的大鼠主动脉血管舒张, 对大鼠主动脉环应用L型VGCC阻断剂地尔硫卓预 处理减弱了 XAT 诱导的血管舒张, 表明大鼠主动 脉内皮细胞存在L型VGCC。

人动脉内皮细胞是否存在 VGCC 的研究相对动物动脉细胞而言开展较晚。1993年,Bkaily等[18] 对人主动脉内皮细胞应用 fura-2 处理和数字

成像显微镜的观察,发现细胞内Ca2+浓度在血小板 活化因子刺激下显著增加,并显示出对L型VGCC 阻滯剂硝苯地平 (nifedipine) 不敏感, 但对R型 VGCC 阻滯剂伊拉地平 (isradipine, PN200-110) 敏感,从而得出存在R型VGCC的结论。2002年, Yazawa 等 [20] 发现对人主动脉内皮细胞应用米贝拉 地尔 (mibefradil),一种T型VGCC阻滞剂,能够 降低组胺诱导的胞内 Ca2+浓度的提高,表明人主动 脉内皮细胞存在T型VGCC。2005年, Oshima 等[29] 发现依福地平,一种T型和L型Ca2+通道阻 滞剂,可显著改变内皮功能指数 FMD/NTG、 8-OHdG的尿排泄量、血清丙二醛修饰的低密度脂 蛋白即逆转原发性高血压患者的内皮功能障碍,而 L型 VGCC 阻滞剂硝苯地平对内皮功能无改善作 用,表明人肱动脉内皮细胞存在T型VGCC而非L 型VGCC。进一步,可以通过免疫组织化学染色法 和实时定量PCR技术使内皮细胞VGCC的不同亚 型和分布特点得以明确。例如,2017年,Thuesen 等[30]应用免疫组织化学染色法在人乳腺动脉平滑 肌细胞和内皮细胞中检测到 Cav2.1 和 Cav3.1, 在 人大脑动脉的内皮细胞中检测到 Cav2.1,揭示了两 种不同类型的VGCC均参与人脑和乳腺血管的收缩 活动。

1.3 微血管内皮细胞

不同于静脉内皮细胞和动脉内皮细胞,微血管内皮细胞 VGCC 存在与否的研究开展得较晚。Li等 [31] 在1999年发现激动剂 ATP(100 µmol/L)、凝血酶(10 U/ml)和组胺(100 µmol/L)能够诱发人大脑微血管内皮细胞内瞬时 Ca²+浓度升高,该浓度的提高被受体操纵 Ca²+通道阻滞剂所阻断。然而电压门控通道阻滞剂地尔硫卓并没有阻止胞内 Ca²+浓度的提高。Li等 [31] 进一步用 K+平衡盐溶液(80 mmol/L)去极化或使用 VGCC激动剂 BAY k8644 对细胞进行处理,结果显示 K+平衡盐溶液(80 mmol/L)降低了组胺(100 µmol/L)诱导的胞内 Ca²+浓度升高,表明人大脑微血管内皮细胞不存在 VGCC 通道。

随后,众多研究集中于鼠微血管内皮细胞。 2004年,Wei等^[32]发现大鼠肺微血管内皮细胞表达T型VGCC,该通道承担由于流动障碍介导的膜去极化而发生的Ca²⁺内流。2006年,Townsley等^[33]总结了Ca²⁺通道在肺内皮细胞中的表达,并指出大鼠肺微血管内皮细胞存在T型通道。同年,Zhou等^[34]讨论了有关T型VGCC在肺内皮细胞中

的表达和功能作用,阐述了内皮细胞T型VGCC的 分子特征、生物物理和药理特征,并指出大鼠肺微 血管内皮细胞中表达了低电压门控钙通道 (Cav3.1)。2007年, Proost 等 [35] 应用双免疫染色 法发现 Cav3.1 和血小板内皮细胞黏附分子1 (platelet endothelial cell adhesion molecular-1, PECAM-1,内皮细胞的标记物),显著地染色于内 皮细胞的侧壁, 少量染色了基壁和根尖壁, 表明 T型VGCC存在大鼠肺微血管内皮细胞中。2018 年, Zheng等^[36] 发现大鼠肺微血管内皮细胞本身 具有形成体外血管"网络"能力,减少细胞外Ca2+ 可消除"网络"的形成,但是阻断血管内皮生长因 子受体 (VEGF receptor) 或一氧化氮合酶的作用 很小或没有,说明"网络"形成是一个Ca2+浓度依 赖的过程。阻断T型VGCC或沉默αlG基因,破坏 了"网络"的形成。相反,阻断瞬时受体电位通道4 (canonical transient receptor potential 4, TRPC4) 或辣椒素 4 (transient receptor potential vanilloid 4, TRPV4) 这两种钙通道对"网络"形成没有影响, 说明大鼠肺微血管内皮细胞存在T型VGCC [36]。 2019年, Leo 等[37] 研究发现溶血磷脂酰肌醇 (L-alpha-lysophosphatidylinositols, LPI) 可以促进 大鼠脑微血管内皮细胞的Ca2+内流,但是通过应用 硝苯地平抑制L型VGCC或在无Ca2+盐水中这种内 流被消除, 表明该细胞存在L型VGCC。

1.4 其他内皮细胞

尽管VGCC在内皮细胞中存在与否的研究多开 展于静脉、动脉、微血管内皮细胞中, 其他一些组 织器官的内皮细胞是否存在VGCC也有一些报道。 例如, 1990年, Laskey等^[16] 将膜片钳技术与Ca²⁺ 荧光显微技术相结合,发现激动剂刺激的Ca2+内流 仅仅是由于电化学驱动力的变化引起的, Ca2+通过 一种与电压无关的被动渗透通路进入细胞, 表明牛 心房内膜内皮细胞不存在 VGCC。Vinet 等 [38-39] 应 用全细胞膜片钳技术发现牛肾上腺髓质内皮细胞去 极化产生了Ca²⁺内向电流,并且其电流-电压曲线 结果表明细胞存在T型和L型VGCC。Lee等[19]对 大鼠心脏内皮细胞应用fura-2进行荧光染色检测的 结果显示血清素诱导的胞内 Ca2+浓度变化与 VGCC 和无机钙通道阻滞剂有关,这与一些有关VGCC参 与激动剂刺激 Ca2+内流的研究一致[40-41], 表明 VGCC 存在于大鼠心脏内皮细胞中。另外, T型 VGCC参与血管直径的调节已经在大鼠和小鼠的传 入和传出小动脉中被观察到[42-45],而L型VGCC被 认为在皮质传出小动脉收缩中不发挥作用^[46-48]。例如,2014年,Thuesen等^[49]对小鼠肾血管内皮细胞的研究显示,Cav3.2通道和内皮—氧化氮合酶(endothelial nitric oxide synthase,eNOS)阻断剂抑制了去极化诱导的灌注传出小动脉收缩后的二次扩张,因此Cav3.2通道参与了一氧化氮(NO)依赖性的传出小动脉扩张。

进一步,可以通过免疫组织化学染色法和实时 定量 PCR 技术使得内皮细胞 VGCC 的不同亚型和 分布特点得以明确。例如,Blanks等^[50]在2007年通过免疫组化法发现,Cav3.1在部分人子宫肌层血管平滑肌细胞中表达,而Cav3.2在血管内皮细胞和白细胞中表达,表明T型VGCC存在于人子宫肌层血管内皮细胞。

综上所述,本文统计了涉及静脉、动脉、微血管及其他一些内皮细胞中VGCC存在与不存在的研究结果,具体见表1。

Table 1 Research progress of voltage-gated calcium channels in endothelial cells 表 1 内皮细胞钙离子电压门控通道研究进展

组织 类型	细胞类型	存在 与否	VGCC通道 亚型	主要探测技术	文献
静脉	人脐静脉内皮细胞	否		膜片钳技术	[12]
					[13]
					[22]
	人脐静脉内皮细胞	否		膜片钳技术	[23]
	人脐静脉内皮细胞	是	L, T	荧光显微观测技术	[24]
动脉	牛肺动脉内皮细胞	否		膜片钳技术	[14]
	牛主动脉内皮细胞	否		膜片钳技术	[25]
	牛主动脉内皮细胞	否		膜片钳技术	[26]
	牛肺动脉内皮细胞	否		膜片钳+荧光显微观测技术	[15]
	牛肺动脉内皮细胞、牛主动脉内皮细胞	否		膜片钳技术	[13]
	猪冠状动脉内皮细胞	否		荧光显微观测技术	[17]
	犬类主动脉内皮细胞	是	R	荧光显微观测技术	[18]
	人主动脉内皮细胞	是	R	荧光显微观测技术	[18]
	人主动脉内皮细胞	是	T	膜片钳+荧光显微观测技术	[20]
	人肱动脉内皮细胞	是	T	常规化学检测	[29]
	人乳腺动脉内皮细胞	是	T	免疫组织化学染色法+PCR检测技术	[30]
	小鼠肺动脉内皮细胞	是	T	荧光显微观测技术	[27]
	大鼠主动脉内皮细胞	是	L	阻滞剂处理+等距血管张力检测技术	[28]
微血管	人脑微血管内皮细胞	否		荧光显微观测技术	[31]
	大鼠肺微血管内皮细胞	是	T	膜片钳+荧光显微观测技术+PCR检测技术	[95]
	大鼠肺微血管内皮细胞	是	T	荧光显微观测技术+PCR检测技术	[32]
	大鼠肺微血管内皮细胞	是	T	免疫组织化学染色法+荧光显微观测技术	[35]
	大鼠肺微血管内皮细胞	是	T	阻滞剂处理+显微观测技术	[36]
	大鼠脑微血管内皮细胞	是	L	荧光显微观测技术	[37]
其他	牛心房内膜内皮细胞	否		膜片钳+荧光显微观测技术	[16]
	牛肾上腺髓质内皮细胞	是	T、L	膜片钳技术	[38]
	大鼠心脏内皮细胞	是		荧光显微观测技术	[19]
	人子宫肌层血管内皮细胞	是	T	免疫组织化学染色法+PCR检测技术	[50]
	小鼠肾小动脉内皮细胞	是	T	数字成像显微观测技术	[49]

2 内皮细胞VGCC的作用

2.1 调节血管内皮舒张和收缩活动

内皮细胞远不只是血液和血管壁平滑肌细胞和 基质蛋白之间的简单的物理屏障。内皮细胞的多功 能性使它们能够调节血管张力的平衡和营养物质的 流动、释放血管活性物质,其中最重要的一种叫做 内皮衍生放松因子 (endothelium-derived relaxing factor, EDRF), 这些物质导致皮下平滑肌松弛, 并调节血液成分在血管壁上的流动(渗透性)[51-53]。 EDRF被确定为NO, 由精氨酸 (arginine) 通过激 活内皮细胞中的内皮一氧化氮合酶形成, 其释放与 胞内游离钙浓度的增加有关[40,54-55]。EDRF/NO是 血管平滑肌和血小板中可溶性冠苷酸环化酶 (guanylate cyclase, GC) 普遍存在的激活因子,它 催化环磷酸鸟苷 (cyclic guanosine monophosphate, cGMP)的产生,导致平滑肌松弛,进而调节血管 内皮的舒张和收缩^[56-57](图 2a)。例如,小鼠肺动 脉内皮细胞和平滑肌细胞通过间隙连接通道交流物 质和电信号,产生协调效应[27,58-59]。另一方面, 内皮细胞的连接通透性, 也受到 NO 的调控, 通过 Ca2+的增加而增强,可能是因为Ca2+对胞内收缩元 素的作用导致细胞间连接区域的收缩和间隙的扩 大[60-63]。因此,内皮细胞的Ca²⁺调控的机制对于理 解血管活性物质调节血管张力和血管通透性的作用 是至关重要的。

关于存在 VGCC 的内皮细胞相关研究显示 VGCC对Ca2+的调控起到关键作用,进而影响血管 内皮的舒张和收缩活动。例如, Oshima等^[29]发现 T型VGCC阻滯剂,通过降低氧化应激改善原发性 高血压患者的血管内皮功能障碍。Gackiere等[64] 在文章中表明被称为容量性钙进入的通路 (capacitative calcium entry, CCE) 在非兴奋性细胞 中尤为重要,该通路是由钙储存耗尽所激活的。虽 然这种钙离子内流通常被认为是通过TRP通道 (一种非选择性阳离子通道)发生的,但通过使用 T型VGCC拮抗剂米贝拉地尔抑制了CCE期间的钙 增加,表明T型VGCC可能有助于在储存耗尽后的 钙离子进入。另外, T型 VGCC 参与微血管直径的 调节已经在大鼠和小鼠的传入和传出小动脉中被观 察到^[42-45]。例如,Cav3.2和内皮一氧化氮合酶阻断 剂抑制了去极化诱导的灌注传出动脉收缩后的二次 扩张,表明Cav3.2参与了NO依赖性的传出动脉扩 张[49]。在肺动脉内皮细胞中, Ca2+通道和细胞内 Ca²⁺浓度控制着 NO 等血管舒张因子的释放,参与 调节肺动脉血压。免疫荧光标记显示野生型小鼠的 内皮细胞中存在与内皮一氧化氮合酶共定位的 Cav3.1通道。这表明T型VGCC主要通过Cav3.1通 道,控制内皮细胞 Ca2+和乙酰胆碱介导的舒张作 用,促进小鼠肺内血管反应^[27]。此外,L、P/Q和 T型VGCC存在于人肾内动脉,并参与去极化诱导 的血管收缩[49,65],但不同亚型钙通道在其他类型 人动脉中的重要性尚不清楚[50]。值得注意的是, T 型VGCC对血管张力的控制在病理条件下也发挥了 关键作用[66-68]。例如, T型VGCC在肺毛细血管的 内皮细胞中表达,参与炎症过程,包括血管性血友 病因子的分泌、P选择素的表面转移或炎症的肺微 循环中镰状红细胞介导的血管阻塞[69-70]。然而, T 型VGCC在大动脉内皮细胞和血管舒张中的作用却 鲜为人知。例如,在表达T型VGCC(Cav3.1)的 小鼠肠系膜动脉内皮细胞中,在非生理KCI去极化 剂的刺激下, T型 VGCC会驱动动脉二次 舒张[71]。

2.2 影响内皮细胞迁移、增殖

血管内皮细胞迁移在损伤愈合、血管生成等生 理过程中起着重要作用^[29, 72]。Ca²⁺是内皮细胞迁 移和增殖过程中多种信号的重要信使「73」。作为 Ca2+内流重要途经的VGCC, 其与内皮细胞迁移关 系的研究却很少。Martini等[24]利用改进的博伊登 室(Boyden chamber)系统对 Ang II 刺激人脐静脉 内皮细胞迁移进行了实验。目的是探究 Ang II 是否 通过 VGCC 刺激人脐静脉内皮细胞中的钙内流,以 及这种内流是否在细胞迁移中起作用。Ang II 通过 作用于AT1和AT2受体位点发挥生物学作用。AT1 拮抗剂 ZD7155 阻断了钙对 Ang II 的反应,而 AT2 拮抗剂 PD-123319 没有表现出这种作用。对其应用 T型VGCC阻滯剂米贝拉地尔和L型VGCC阻滯剂 维拉帕 (verapamil) 进行处理后, 发现只有前者才 会显著减少迁移细胞的数量。这些结果表明, 内皮 细胞的迁移仅通过T型VGCC的钙内流调节,这种 作用是由 Ang II-AT1 受体途径介导的。Wang 等 [74] 进一步研究了Ang II对T型VGCC表达的影响,发 现Ang II通过AT1受体、Ras和MEK诱导内皮细胞 中T型 VGCC α1G亚基的表达。Ang II 诱导的α1G 表达是由 AT1 受体介导的,这一结果与 Martini 等[24]研究一致。重要的是, Ras和MEK通路参与 了该过程。应用阿托伐他汀 (atorvastatin),抑制 法尼基焦磷酸(farnesyl pyrophosphate, FPP)的产

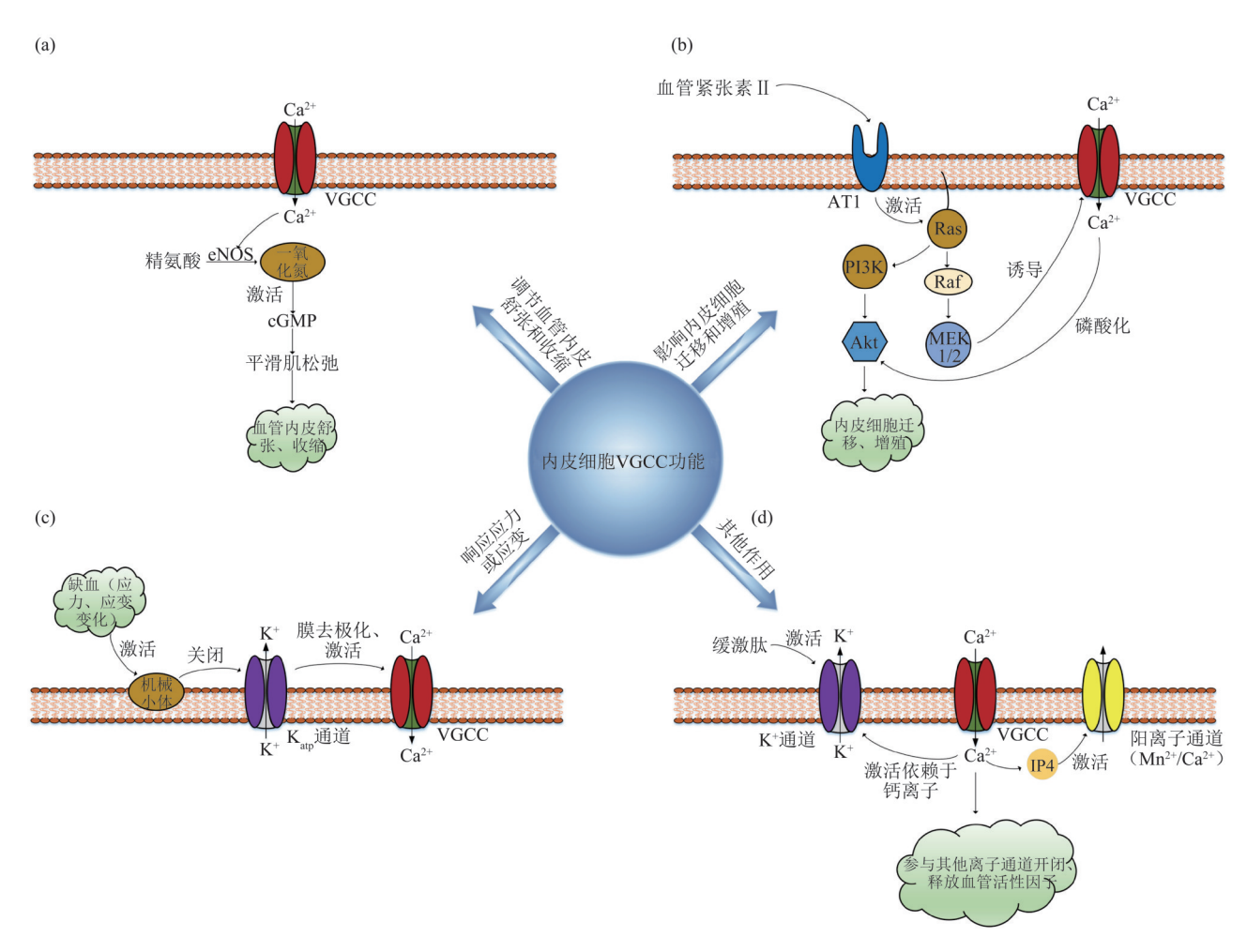


Fig. 2 Function of VGCC in endothelial cells 图2 内皮细胞VGCC功能

内皮细胞VGCC具有以下几种功能:(a) 调节血管内皮舒张和收缩;(b) 影响内皮细胞迁移和增殖;(c) 响应应力或应变;(d) 参与其他离子通道开闭、释放血管活性因子等其他作用。VGCC,电压门控钙离子通道;eNOS,内皮一氧化氮合酶(endothelial nitric oxide synthase);cGMP,环磷酸鸟苷(cyclic guanosine monophosphate);AT1,血管紧张素1型受体(angiotensin type 1 receptor);Ras,一种单体小分子GTP结合蛋白;Raf,丝氨酸/苏氨酸蛋白激酶(又称MAPKKK);MEK1/2,丝裂原活化蛋白激酶激酶1/2(mitogen-activated proteinkinase kinase 1/2);PI3K,磷酯酰肌醇3-激酶(phosphatidylinositol 3 kinase);Akt,丝氨酸/苏氨酸蛋白激酶,也被命名为蛋白激酶B(protein kinase B,PKB);K_{stp}通道,ATP敏感性钾离子通道(ATP-sensitive potassium channel);K⁺通道,一种激活剂为缓激肽的钾离子通道;IP4,肌醇 1,3,4,5-四磷酸(1D-myo-inositol-1,3,4,5-tetrakisphosphate);阳离子通道(Mn²+/Ca²+),一种Mn²+/Ca²+选择性阳离子通道。

生,阻止Ras激活,阻断了Ang II诱导的αlG的表达。此外,为了确定MEK1/2的激活是否参与Ang II诱导的αlG表达,应用MEK1/2抑制剂PD98059对人脐静脉内皮细胞进行预处理,同样抑制了Ang II诱导的αlG表达。这些结果表明,Ang II通过AT1受体介导的Ras/MEK通路诱导αlG表达。

Zheng等^[75]采用了伤口愈合试验来测试T型VGCC阻滞剂是否影响肺微血管内皮细胞(PMVEC)迁移。该试验首先培养PMVEC生长至汇合,通过刮擦细胞单层形成间隙,然后在缺乏血清的条件下进行监控,保证了缺口闭合的过程主要

由细胞迁移构成。结果显示,T型VGCC阻滞剂NNC 55-0396或使 alG基因沉默会使间隙闭合分别延迟多达32%和28%。显然,T型VGCC阻滞显著影响了PMVEC的迁移,表明VGCC在内皮细胞迁移过程中发挥了重要作用^[75]。另外,PMVEC本质上具有体外生成血管"网络"的能力^[75]。耗尽细胞外钙离子,消除了"网络"的形成,而血管内皮生长因子受体或一氧化氮合酶的阻断作用很小或没有作用,表明"网络"形成是钙离子依赖性过程。阻断T型VGCC或沉默 alG (PMVEC中表达的唯一VGCC)破坏"网络"形成。从机制上讲,T型

VGCC通道阻滞剂以剂量依赖性方式降低Akt磷酸化。阻断Akt或其上游激活剂磷脂酰肌3-激酶(PI3K),也会损害"网络"形成。T型VGCC道阻断的后果不单单是体外"网络"形成的破坏,还显着降低了细胞增殖、细胞基质粘附和细胞迁移。因此,T型VGCC阻断明显破坏了PMVEC血管生成活性的多个组成部分。这些发现表明α1G型VGCC可通过PI3K-Akt信号通路促进细胞的血管生成潜力。参考以上研究,我们绘制了内皮细胞VGCC影响内皮细胞迁移、增殖的功能图(图2b)。

值得注意的是, VGCC在许多其他细胞迁移过 程中均发挥重要作用。例如, Nebe等[76]发现T型 VGCC阻滞剂米贝拉地尔而不是L型VGCC阻滞剂 氨氯地平 (amlodipine) 和维拉帕米在体外减弱了 白细胞黏附,表明T型VGCC参与了白细胞迁移过 程。Agabiti-Rosei等[77]发现L型VGCC阻滯剂拉 西地平(lacidipine)可以显着降低自发性高血压大 鼠小阻力动脉内膜-中膜比例,表明VGCC对平滑 肌细胞的迁移和增殖有巨大的影响。Blaheta等[78] 观察到米贝拉地尔对淋巴细胞水平运动和渗透的抑 制作用,进一步展示 VGCC 对细胞迁移的显著影 响。这些发现强调了细胞迁移过程中VGCC的功能 作用和对细胞内钙的依赖。尽管目前VGCC与内皮 细胞迁移、增殖关系的研究很少, 其调节机制仍未 完全了解, 但是上述发现可以为两者关系的研究提 供思路。有理由相信 VGCC 会发挥重要作用,因 此,未来应扩大和加深VGCC与内皮细胞迁移、增 殖关系的研究。

2.3 响应应力或应变

VGCC通过响应力或应变的变化调节胞内 Ca²⁺浓度。微血管内皮细胞常受到机械力的作用,包括血管内压力产生的机械应变和与血流相关的剪切应力^[79-80]。Yoshikawa等^[81-82]对剪切应力刺激人脐静脉内皮细胞(HUVECs)造成胞内 Ca²⁺浓度变化进行研究,结果显示在 ATP 存在的情况下,剪切应力导致胞内 Ca²⁺浓度升高,而在缺乏 ATP 或存在非特异性 Ca²⁺通道阻滞剂 Ni²⁺的情况下,则观察不到这种反应。这是因为非特异性 Ca²⁺通道阻断剂 Ni²⁺可消除剪切应力诱导的 Ca²⁺瞬变,表明 Ca²⁺内流是产生胞内 Ca²⁺瞬态变化的主要原因^[82]。然而,由于应用的是非特异性 Ca²⁺通道阻滞剂,因此不能判断出是何种钙离子通道在内流中发挥作用。此外,Isshiki等^[83]发现剪切应力可以诱导胎牛胸降主动脉内皮细胞的胞内 Ca²⁺浓度发生变化。然而,产生

浓度变化的 Ca²⁺是内质网释放的,与膜上的 Ca²⁺通道无关。尽管其他一些研究发现缺血早期时原位大鼠肺微血管内皮细胞感受到剪切应力减少,紧接着细胞膜去极化、活性氧(reactive oxygen species,ROS)产生,随后胞内 Ca²⁺浓度升高^[79-80, 84],上述研究只建立了应力变化与胞内 Ca²⁺浓度变化的相关性,并未将应力、应变与 VGCC 联系起来。

关注于缺血或剪切应力变化导致的膜去极化与 胞内 Ca2+浓度变化过程的相关研究,则解释了应力 变化、VGCC、胞内Ca2+三者之间的潜在关系。起 初, Tozawa等[85] 用膜电位调节剂和ROS抑制剂对 膜去极化、ROS的产生与Ca2+内流的关系进行实验 研究。研究表明缺血导致膜去极化,其中K+通道 失活是膜去极化的机制,这是肺内皮细胞缺血的最 初表现。应用克罗卡林 (cromakalim), 一种 K+通 道开放器,可以使内皮细胞膜超极化,减弱了缺血 诱导的去极化,并抑制缺血期间Ca2+的增加。这表 明,内皮细胞膜去极化导致细胞内Ca²⁺增加。因 此, Ca2+内流可能是由VGCC介导的, VGCC被缺 血诱导的膜去极化激活。需要注意的是,许多报道 表明VGCC在培养的内皮细胞中不存在,是由于在 静态细胞培养过程中可能会丢失这些通道,但暴露 于剪切应力的原位肺内皮细胞拥有这些通道[85]。

进一步, Song等[86] 明确了缺血开始后内皮细 胞变化与时间的关系。第1秒内发生膜去极化,1~ 2 s 检测到血管内 H₂O₂增加, 10~15 s 之间细胞内 Ca²⁺浓度增加。该时间关系表明内皮细胞在缺血后 按顺序发生了以下一系列事件: 膜去极化、H2O2生 成、细胞内Ca²⁺增加和NO生成。细胞对缺血的快 速有序响应表明剪切应力通过合适的"传感器"在 内皮细胞的稳态中起着重要作用。Chatterjee 等 [87] 给出了"传感器"的构成及作用,并总结了内皮细 胞感受剪切应力变化并传递信号的过程。实际上, 剪切应力改变是缺血的一种表现。血流的停止是由 一个位于内皮细胞小窝的"机械小体 (mechanosome)"感受到的,该小体由血小板内 皮细胞黏附分子、血管内皮生长因子受体、血管内 皮细胞钙黏连蛋白(VE cadherin)等构成[88]。机 械小体的激活导致 K_{ap} 通道关闭,引起内皮细胞膜 的去极化。胞膜去极化还导致 T型 VGCC 的打开, 细胞内 Ca2+增加,一氧化氮合酶的激活和 NO 的生 成。由于流动的刺激使机械小体保持激活和Kan通 道开放,可以认为机械小体既能感知剪切的开始也 能感知剪切的停止,它应该以Off-On状态存在。

Off-On模式如何打开或关闭 K⁺通道目前还不清楚。 另外,目前机械小体工作的确切机制也不是很清 楚、仍需要后续的研究工作来揭示。

参考以上研究,本文总结了内皮细胞 VGCC 响应应力、应变的功能图 (图 2c)。

2.4 其他作用

尽管内皮细胞VGCC的主要作用体现在调节 内皮舒张和收缩、响应应力或应变等方面,仍有一 些其他的作用被发现(图2d)。一些递质、激素激 活的离子通道具有胞内游离钙浓度依赖的特性。例 如,激活剂为缓激肽的钾离子通道的开闭,受胞内 钙离子浓度变化的激活;激活剂为组胺的阳离子通 道的开闭,依赖于胞内钙离子的存在; Mn²⁺/Ca²⁺通 道的开闭,依赖于胞内钙离子的存在,并被肌醇 1,3,4,5-四磷酸激活(IP4,一种IP3的代谢产物)。 其中VGCC作为细胞内钙离子浓度调控的关键通 道参与了以上受体、配体的结合及通道的门控[89]。 另外, VGCC在内皮细胞激活-分泌耦合机制中起 着重要作用。Bkaily等[18]发现血小板活化因子诱 导刺激胞内钙浓度的变化以及血管内皮细胞随后释 放血管活性因子,如内皮细胞舒血管因子和内皮 素1是通过激活R型VGCC介导的。

3 讨 论

目前,除VGCC外,在内皮细胞膜表面还存 在多种钙离子通道,包括钙池调控钙通道、环核苷 酸门控性离子通道(cyclic nucleotide-gated channels, CNG)、瞬时受体电位通道 (transient receptor potential channel, TRP)、嘌呤碱样受体门 控性阳离子通道(purinergic ligand-gated receptorchannel, P2X)等。这些离子通道通过影响钙信 号,在多种生理和病理过程中也发挥着重要作用。 例如, Shalom等 [90] 发现环核苷酸门控性离子通道 可在超极化状态下开放,并在调节NO分泌水平方 面起重要作用。Freichel等[91]发现,TRPC4缺陷 型小鼠的动脉环,对乙酰胆碱诱发的血管舒张反应 不敏感。原因是在动脉内皮细胞中, TRPC4的缺 失会使ATP和乙酰胆碱诱发的钙内流减少。该内 流会增强内皮细胞产生舒血管活性物质,如NO、 内皮源性超极化因子 (endothelium derived hyperpolarizing factor, EDHF) 和前列环素, 从而 降低血管紧张度。另外,已有很多关于内皮细胞存 在 P2X 的研究报道,并且肯定了 P2X4 和 P2X7 在 内皮细胞分布的普遍性 [92]。

需要注意的是,尽管 VGCC 同上述其他一些 胞膜钙通道均在诸多生理或病理过程中发挥重要作 用,但是诱发方式却有很大不同。VGCC由膜电位 改变的方式特异性诱发,而钙池调控钙通道是由内 质网内钙库耗竭触发的一种外钙内流通道; 环核苷 酸门控性离子通道是一种与cAMP及cGMP直接结 合后激活的离子通道; 嘌呤碱样受体门控性阳离子 通道为一种嘌呤碱样的受体门控性阳离子通道,与 胞外ATP结合时被打开,允许Na⁺和Ca²⁺等阳离子 通过;瞬时受体电位通道由ATP、内皮素、乙酰胆 碱、多种生长因子、温度、膜张力等诸多因素激 活。可以看到,仅VGCC由膜电位变化激活,其 他通道大多为受体配体结合的方式激活。因此, 在 某些特定生理环境或体外培养条件下,可以通过控 制诱发因素的方式特定的研究某一种通道的特性及 功能。

通过结合生物化学、分子生物学和生物物理等 方法,对复杂的内皮细胞 VGCC 系统的研究已经 取得一定的进展。然而,该领域目前所研究的内皮 细胞 VGCC 的种类不是很多, 机制上阐明的也不 是很透彻。目前,最主要问题是现有研究数据显示 VGCC 表达存在显著的类型异质性。例如, 人脐静 脉内皮细胞不存在VGCC [12-13, 22-23], 而人主动脉内 皮细胞、人肱动脉内皮细胞、人乳腺动脉内皮细胞 存在VGCC [18, 29-30]。这可能与动静脉差异有关,内 皮细胞的形态和功能特征因血管类型和血管范围的 不同而不同[21]。人脐静脉内皮细胞的胚胎性质不 同于成人组织细胞,脐静脉执行动脉功能,如将氧 气和营养物质从胎盘运送到胎儿, 而它的血压和氧 张力与静脉很接近[93]。因此,人脐静脉内皮细胞 电生理特征可能主要由胚胎起源和微环境的局部效 应决定,而不是严格由血管大小决定。此外还关注 到,同为主动脉内皮细胞,人主动脉内皮细胞存在 VGCC 而牛主动脉内皮细胞不存在[14-15, 18]; 牛肺动 脉内皮细胞不存在VGCC而小鼠肺动脉内皮细胞 存在VGCC^[13, 27]。造成这些差异的原因尚不清楚, 但可能与物种间多态性有关,或许仅仅是由于培养 条件的差异。

另外,早期对VGCC的研究多为电生理学研究,采用膜片钳技术。尽管膜片钳技术有很强的记录分析功能,然而单纯应用仍远不足以研究、解释内皮细胞活动的许多现象。因此,出现了与其他技术的结合运用:膜片钳技术与显微荧光测钙技术相结合 [15-16.94];显微荧光测钙技术与 PCR 相结合

等[28, 33, 94]。考虑到VGCC肩负转运钙离子的作用, 对Ca²⁺的测量显得尤为重要。直到今天,最突出的 Ca²⁺指示剂为 fura-2, 一种比例计量化学荧光 Ca²⁺ 敏感染料,适合观测全细胞Ca²⁺浓度的改变^[95]。 然而,与所有化学荧光指标相比,fura-2具有一些 严重的缺点,包括紫外线激发引起的光毒性、亚细 胞靶向困难和对活体动物的适用性差。鉴于荧光共 振能量转移 (FRET) 技术具有适于定量分析、便 于实时监测、灵敏度高等优点,科学家们发展了基 于 FRET 的基因编码探针 (FRET-based GEPs)。 Miyawaki等[96]在1997年成功设计了世界上第一个 基于 FRET 的基因编码 Ca²⁺指示剂 Cameleons。如 今,这种指示剂的种类变化繁多。对不同细胞器具 有不同Ca2+敏感性的变种也已产生。最常用的探针 包含 D1、 D2cpV、 D3cpV、 4mtD1GO-Cam、 D1ERCmR2等[96-98]。未来VGCC的研究工作也许 可以考虑对实验技术手段给予更多的关注和思考, 更多应用诸如基因编码检测技术、膜片钳技术、显 微荧光测钙技术等技术的结合对钙离子进行测量, 以提高结果的精确性。

4 总结和展望

综上所述,本文回顾了人脐静脉内皮细胞、人 主动脉内皮细胞、牛肺动脉内皮细胞、牛主动脉内 皮细胞、猪冠状动脉内皮细胞、大鼠肺微血管内皮 细胞等主要内皮细胞中VGCC存在与否的研究成 果。同时,本文探讨了VGCC在血管内皮舒张和收 缩活动、细胞迁移和增殖、响应应力或应变等生理 活动中发挥的作用。

随着科学技术和内皮细胞功能知识的发展,对 VGCC和Ca2+动力学的理解显著加强,其电生理特 性也被周知,其通过VGCC调控兴奋性、分泌、迁 移是内皮细胞功能的关键机制。一方面,血管内皮 细胞迁移在伤口愈合、动脉粥样硬化和血管生成等 生理过程中起着重要作用[71]。另外一方面,血管 内皮细胞在炎症反应的诱导中发挥着独特的作用。 内皮细胞的运动和收缩通过调节白细胞的迁移和血 浆蛋白的渗漏直接影响炎症反应^[99]。细胞内 Ca²⁺ 浓度变化可能是调控内皮屏障功能的关键信号,以 应对渗透性增强剂,如缓激肽和凝血酶[100-101]。因 此,对VGCC的深入而广泛的研究对揭示并治疗诸 如原发性高血压、动脉粥样硬化等内皮功能性疾病 有着十分重要的意义。值得注意的是,受体门控通 道激活与内皮源产物的释放有关,也与VGCC产生

的离子电流有关。这两个过程之间的联系也将为未 来研究提供一个重要方向。

文 献

- [1] Reuter H. The dependence of slow inward current in Purkinje fibres on the extracellular calcium-concentration. J Physiol, 1967, 192:479-92
- Reuter H. Properties of two inward membrane currents in the heart. [2] Annu Rev Physiol, 1979, 41(1): 413-424
- e Silva M J, Lewis D L. L- and N-type Ca2+ channels in adult rat carotid body chemoreceptor type I cells. J Physiol, 1995, 489(3): 689-699
- Overholt J L, Prabhakar N R. Ca2+ current in rabbit carotid body [4] glomus cells is conducted by multiple types of high-voltageactivated Ca²⁺ channels. J Neurophysiol, 1997, 78: 2467-2474
- Catterall W A. Structure and regulation of voltage-gated Ca2+ Channels. Annu Rev Cell Dev Biol, 2000, 16: 521-555
- Ertel E A, Campbell K P, Harpold M M, et al. Nomenclature of [6] voltage-gated calcium channels. Neuron, 2000, 25(3): 533-535
- Catterall W A, Perez-Reyes E, Snutch T P, et al. International union [7] of pharmacology. XLVIII. Nomenclature and structure-function relationships of voltage-gated calcium channels. Pharmacol Rev, 2005, 57(4): 411-425
- [8] Rink T J, Jacob R. Calcium oscillations in non-excitable cells. Trends Neurosci, 1989, 12(2): 43-46
- [9] Fewtrell C. Ca2+ oscillations in non-excitable cells. Annu Rev Physiol, 1993, 55(1): 427-454
- [10] Clapham D E. Calcium signaling. Cell, 1995, 80(2): 259-268
- [11] Berridge M J. Elementary and global aspects of calcium signalling. J Physiol, 1997, 499 (Pt 2): 291-306
- [12] Bregestovski P, Bakhramov A, Takeda K, et al. Histamine-induced inward currents in cultured endothelial cells from human umbilical vein. Br J Pharmacol, 1988, 95(2): 429-436
- [13] Bregestovski PD, Ryan US. Voltage-gated and receptor-mediated ionic currents in the membrane of endothelial cells. J Mol Cell Cardiol. 1989, 21(supp S1): 103-108
- [14] Johns A, Lategan T W, Lodge N J, et al. Calcium entry through receptor-operated channels in bovine pulmonary artery endothelial cells. Tissue Cell, 1987, 19(6): 733-745
- [15] Cannell M B, Sage S O. Bradykinin-evoked changes in cytosolic calcium and membrane currents in cultured bovine pulmonary artery endothelial cells. J Physiol, 1989, 419(1): 555-568
- [16] Laskey R E, Adams D J, Johns A, et al. Membrane potential and Na⁺-K⁺ pump activity modulate resting and bradykinin-stimulated changes in cytosolic free calcium in cultured endothelial cells from bovine atria. J Biol Chem, 1990, 265(5): 2613-2619
- [17] Kimura M, Maeda K, Hayashi S, et al. Cytosolic calcium increase in coronary endothelial cells after H2O2 exposure and the inhibitory effect of U78517F. Br J Pharmacol, 1992, 107(2): 488-493
- [18] Bkaily G, Pedro D, Naik R, et al. PAF activation of a voltage-gated

- R-type Ca²⁺ channel in human and canine aortic endothelial cells. Br J Pharmacol, 1993, **110**(2): 519-520
- [19] Lee H Z, Wu C H. Serotonin-stimulated increase in cytosolic Ca²⁺ in cultured rat heart endothelial cells. Eur J Pharmacol, 1999, 384(1):53-60
- [20] Yazawa K, Ono K, Iijima T. Modulation by mibefradil of the histamine-induced Ca²⁺ entry in human aortic endothelial cells. Jpn J Pharmacol, 2002, 90(2): 125-130
- [21] Shepro D, Amore P A. Physiology and biochemistry of the vascular wall endothelium. Handbook of Physiology, 1984, 4:103-164
- [22] Nilius B, Riemann D. Ion channels in human endothelial cells. Gen Physiol Biophys, 1990, 9(2): 89-112
- [23] Vargas F F, Caviedes P F, Grant D S. Electrophysiological characteristics of cultured human umbilical vein endothelial cells. Microvasc Res, 1994, 47(2): 153-165
- [24] Martini A, Bruno R, Mazzulla S, et al. Angiotensin II regulates endothelial cell migration through calcium influx via T-type calcium channel in human umbilical vein endothelial cells. Acta Physiologica, 2010, 198(4): 449-455
- [25] Takeda K, Schini V B, Stoeckel H. Voltage-activated potassium, but not calcium currents in cultured bovine aortic endothelial cells. Pflugers Arch, 1987, 410(4): 385-393
- [26] Colden-Stanfield M, Schilling W P, Ritchie A K, et al. Bradykinininduced increases in cytosolic calcium and ionic currents in cultured bovine aortic endothelial cells. Circ Res, 1987, 61(5): 632-640
- [27] Gilbert G, Courtois A, Dubois M, *et al.* T-type voltage gated calcium channels are involved in endothelium-dependent relaxation of mice pulmonary artery. Biochem Pharmacol, 2017, 138: 61-72
- [28] Cao L H, Lee H S, Quan Z S, *et al.* Vascular protective effects of xanthotoxin and its action mechanism in rat aorta and human vascular endothelial cells. J Vasc Res, 2020, 57(6): 1-12
- [29] Oshima T, Ozono R, Yano Y, *et al.* Beneficial effect of t-type calcium channel blockers on endothelial function in patients with essential hypertension. Hypertens Res, 2005, **28**(11): 889-894
- [30] Thuesen A D, Lyngs K S, Rasmussen L, et al. P/Q-type and T-type voltage-gated calcium channels are involved in the contraction of mammary and brain blood vessels from hypertensive patients. Acta Physiol, 2017, 219: 642-653
- [31] Li L, Bressler B, Prameya R, *et al.* Agonist-stimulated calcium entry in primary cultures of human cerebral microvascular endothelial cells. Microvasc Res, 1999, **57**(3): 211-226
- [32] Wei Z, Manevich Y, Al-Mehdi A B, et al. Ca²⁺ flux through voltagegated channels with flow cessation in pulmonary microvascular endothelial cells. Microcirculation, 2004, 11(6): 517-526
- [33] Townsley MI, King JA, Alvarez DF. Ca²⁺ channels and pulmonary endothelial permeability: insights from study of intact lung and chronic pulmonary hypertension. Microcirculation, 2006, 13(8): 725-739
- [34] Zhou C, Songwei W U. T-type calcium channels in pulmonary

- vascular endothelium. Microcirculation, 2006, 13: 645-656
- [35] Proost I D, Brouns I, Pintelon I, et al. Pulmonary expression of voltage-gated calcium channels: special reference to sensory airway receptors. Histochem Cell Biol, 2007, 128(4): 301-316
- [36] Zheng Z, Chen H, Xie P, et al. α1G T-type calcium channel determines the angiogenic potential of pulmonary microvascular endothelial cells. Am J Physiol Cell Physiol, 2019, 316: C353-C364
- [37] Leo L M, Familusi B, Hoang M, et al. GPR55-mediated effects on brain microvascular endothelial cells and the blood-brain barrier. Neuroscience, 2019, 414: 88-98
- [38] Vinet R, Vargas F F. L- and T-type voltage-gated Ca²⁺ currents in adrenal medulla endothelial cells. Am J Physiol Heart Circ Physiol, 1999, 276: 1313-1322
- [39] Vinet R, Magdalena Cortés, Luxoro M, et al. Nicotine-evoked cytosolic Ca²⁺ increase and cell depolarization in capillary endothelial cells of the bovine adrenal medulla. Biol Res, 2009, 42(1):111-119
- [40] Singer H A, Peach M J. Calcium- and endothelial-mediated vascular smooth muscle relaxation in rabbit aorta. Hypertension, 1982, 4(supp 2): 19-25
- [41] Rotrosen D, Gallin J I. Histamine type I receptor occupancy increases endothelial cytosolic calcium, reduces F-actin, and promotes albumin diffusion across cultured endothelial monolayers. J Cell Biol, 1986, 103(6): 2379-2387
- [42] Feng M G, Li M, Navar L G. T-type calcium channels in the regulation of afferent and efferent arterioles in rats. Am J Physiol Renal Physiol, 2004, 286(2): 331-337
- [43] Hansen P B, Jensen B L, Andreasen D, et al. Differential expression of T- and L-type voltage-dependent calcium channels in renal resistance vessels. Circ Res, 2001, 89(7): 630-638
- [44] Ozawa Y, Hayashi K, Nagahama T, et al. Effect of T-type selective calcium antagonist on renal microcirculation: studies in the isolated perfused hydronephrotic kidney. Hypertension, 2001, 38(3): 343-347
- [45] Poulsen C B, Al-Mashhadi R H, Cribbs L L, et al. T-type voltagegated calcium channels regulate the tone of mouse efferent arterioles. Kidney Int, 2011, 79: 443-451
- [46] Carmines P K, Fowler B C, Bell P D. Segmentally distinct effects of depolarization on intracellular [Ca2+] in renal arterioles. Am J Physiol Renal Fluid Electrolyte Physiol, 1993, 265: F677-F685
- [47] Loutzenhiser K, Loutzenhiser R. Angiotensin II-induced Ca(2+) influx in renal afferent and efferent arterioles: differing roles of voltage-gated and store-operated Ca(2+) entry. Circ Res, 2000, 87: 551-557
- [48] Navar L G, Inscho E W, Imig J D, et al. Heterogeneous activation mechanisms in the renal microvasculature. Kidney Int Suppl, 1998, 67: S17-S21
- Thuesen A D, Andersen H, Cardel M, et al. Differential effect of Ttype voltage-gated Ca²⁺ channel disruption on renal plasma flow and glomerular filtration rate in vivo. Am J Physiol Renal Physiol, 2014, 307(4): 445-452

- [50] Blanks A M, Zhao Z H, Shmygol A, et al. Characterization of the molecular and electrophysiological properties of the T-type calcium channel in human myometrium. J Physiol, 2007, 581(3): 915-926
- [51] Furchgott R F, Zawadzki J V. The obligatory role of endothelial cells in the relaxation of arterial smooth muscle by acetylcholine. Nature, 1980, 288(5789): 373-376
- [52] Furchgott R F. The role of endothelium in the responses of vascular smooth muscle to drugs. Annu Rev Pharmacol Toxicol, 1984, 24(1):175-197
- [53] Vanhoutte P M, Rubanyi G M, Miller V M, et al. Modulation of vascular smooth muscle contraction by the endothelium. Annu Rev Physiol, 1986, 48(1): 307-320
- [54] Long C J, Stone T W. The release of endothelium-derived relaxant factor is calcium dependent. Blood Vessels, 1985, **22**(4): 205-208
- [55] Peach M J, Singer H A, Izzo N J, et al. Role of calcium in endothelium-dependent relaxation of arterial smooth muscle. Am J Cardiol, 1987, 59(2): 35-43
- [56] Ignarro L J. Endothelium-derived nitric oxide: actions and properties. FASEB J, 1989, 3: 31-36
- [57] Murad F, Ishii K. Hormonal regulation of the different isoforms of guanylate cyclase: EDRF is a ubiquitous activator of soluble guanylate cyclase//Rubanyi G M, Vanhoutte P M. Endothelium-Derived Relaxing Factors. Ist Interational Symposium on Endothelium-Derived Vasoactive Factors, Philadelphia, May 1989. Basel: Karger, 1990: 151-165
- [58] Stevens T. Functional and molecular heterogeneity of pulmonary endothelial cells. Proc Am Thorac Soc, 2011, 8(6): 453-457
- [59] Forstermann U, Sessa W C. Nitric oxide synthases: regulation and function. Eur Heart J, 2012, **33**: 829-837
- [60] He P, Zhang X, Curry F E. Ca²⁺ entry through conductive pathway modulates receptor-mediated increase in microvessel permeability. Am J Physiol, 1996, **271**(2): 2377-2387
- [61] Janigro D, West G A, Nguyen T S, *et al.* Regulation of blood-brain barrier endothelial cells by nitric oxide. Circ Res, 1994, **75**: 528-538
- [62] Curry F E. Modulation of venular microvessel permeability by calcium influx into endothelial cells. FASEB J, 1992, 6(7): 2456-2466
- [63] Makino A, Firth AL, Yuan J X. Endothelial and smooth muscle cell ion channels in pulmonary vasoconstriction and vascular remodeling. Compr Physiol, 2011, 1(3): 1555-1602
- [64] Gackière F, Bidaux G, Lory P, et al. A role for voltage gated T-type calcium channels in mediating "capacitative" calcium entry?. Cell Calcium, 2006, **39**(4): 357-366
- [65] Hansen P B, Poulsen C B, Walter S, et al. Functional importance of L- and P/Q-type voltage-gated calcium channels in human renal vasculature. Hypertension, 2011, 58(3): 464-470
- [66] Chevalier M, Gilbert G, Roux E, et al. T-type calcium channels are involved in hypoxic pulmonary hypertension. Cardiovasc Res, 2014, 103(4): 597-606
- [67] Wan J, Yamamura A, Zimnicka A M, et al. Chronic hypoxia

- selectively enhances L- and T-type voltage-dependent Ca²⁺ channel activity in pulmonary artery by upregulating Cav1.2 and Cav3.2. Am J Physiol Lung Cell Mol Physiol, 2013, **305**(2): L154-L164
- [68] Chevalier M, Gilbert G, Lory P, et al. Dehydroepiandrosterone (DHEA) inhibits voltage-gated T-type calcium channels. Biochem Pharmacol, 2012, 83(11): 1530-1539
- [69] Wu S, Jian M Y, Xu Y C, et al. Ca²⁺ entry via alpha1G and TRPV4 channels differentially regulates surface expression of P-selectin and barrier integrity in pulmonary capillary endothelium. Am J Physiol Lung Cell Mol Physiol, 2009, 297(4): L650-L657
- [70] Zhou C, Chen H, Lu F, et al. Cav3.1 (alpha1G) controls von Willebrand factor secretion in rat pulmonary microvascular endothelial cells. Am J Physiol Lung Cell Mol Physiol, 2007, 292(4):L833-L844
- [71] Svenningsen P, Andersen K, Thuesen A D, et al. T-type Ca²⁺ channels facilitate NO-formation, vasodilatation and NO-mediated modulation of blood pressure. Pflugers Arch, 2014, 466(12):2205-2214
- [72] Ferrara N, Kerbel R S. Angiogenesis as a therapeutic target. Nature, 2005, 438: 967-974
- [73] Kamili C, Kandoti H S, Kumar S S, et al. Antiangiogenic Potential of levetiracetam by blocking N-type voltage gated calcium channels. Indian J Pharm Educ Res, 2020, 54(4): 1056-1061
- [74] Wang D, Hirase T, Inoue T, *et al*. Atorvastatin inhibits angiotensin II-induced T-type Ca²⁺ channel expression in endothelial cells. Biochem Biophys Res Commun, 2006, **347**(2): 394-400
- [75] Zheng Z, Chen H, Xie P, et al. α1G T-type calcium channel determines the angiogenic potential of pulmonary microvascular endothelial cells. Am J Physiol Cell Physiol, 2019, 316: C353-C364
- [76] Nebe B, Holzhausen C, Rychly J, et al. Impaired mechanisms of leucocyte adhesion in vitro by the calcium channel antagonist Mibedradil. Cardiovasc Drugs Ther, 2002, 16: 183-193
- [77] Agabiti-Rosei E. The cardiac and vascular effects of lacidipine. J Cardiovasc Pharmacol, 1995, 25: S1-S5
- [78] Blaheta RA, Hailer NP, Brude N, et al. Novel mode of action of the calcium antagonist mibefradil (Ro 40-5967): potent immunosuppression by inhibition of T-cell infiltration through allogeneic endothelium. Immunology, 1998, 94: 213-220
- [79] Al-Mehdi A B, Ischiropoulos H, Fisher A B. Endothelial cell oxidant generation during K⁺-induced membrane depolarization. J Cell Physiol, 1996, 166(2): 274-280
- [80] Al-Mehdi A B, Shuman H, Fisher A B. Oxidant generation with K (+) -induced depolarization in the isolated perfused lung. Free Radic Biol Med, 1997, 23(1): 47-56
- [81] Yoshikawa N, Ariyoshi H, Ikeda M, et al. Shear-stress causes polarized change in cytoplasmic calcium concentration in human umbilical vein endothelial cells (HUVECs). Cell Calcium, 1997, 22: 189-194
- [82] Yoshikawa N, Ariyoshi H, Aono Y, *et al*. Gradients in cytoplasmic calcium concentration ([Ca²⁺]i) in migrating human umbilical vein

- endothelial cells (HUVECs) stimulated by shearstress. Life Sci, 1999, **65**: 2643-2651
- [83] Isshiki M, Ando J, Yamamoto K, *et al.* Sites of Ca(2+) wave initiation move with caveolae to the trailing edge of migrating cells. J Cell Sci, 2002, **115**: 475-484
- [84] Al-Mehdi A B, Zhao G, Dodia C, et al. Endothelial NADPH oxidase as the source of oxidants in lungs exposed to ischemia or high K⁺. Circ Res, 1998, 83(7): 730-737
- [85] Tozawa K, Al-Mehdi A B, Muzykantov V, et al. In situ imaging of intracellular calcium with ischemia in lung subpleural microvascular endothelial cells. Antioxid Redox Signal, 1999, 1(2):145-154
- [86] Song C, Al-Mehdi A B, Fisher A B, et al. An immediate endothelial cell signaling response to lung ischemia. Am J Physiol Lung Cell Mol Physiol, 2001, 281: L993-L1000
- [87] Chatterjee S, Nieman G F, Christie J D, et al. Shear stress-related mechanosignaling with lung ischemia: lessons from basic research can inform lung transplantation. Am J Physiol, 2014, 307: L668-L680
- [88] Tzima E, Irani-Tehrani M, Kiosses W B, et al. A mechanosensory complex that mediates the endothelial cell response to fluid shear stress. Nature, 2005, 437: 426-431
- [89] Revest P A, Abbott N J. Membrane ion channels of endothelial cells. Trends Pharmacol Sci, 1992, 13(11): 404-407
- [90] Shalom R, Barki-Harrington L, Rimon G. Interaction between prostaglandin E2 and l-cis-diltiazem, a specific blocker of cyclic nucleotide gated channels in bovine aortic endothelial cells. Eur J Pharmacol, 2006, 543(8): 8-13
- [91] Freichel M, Suh S H, Pfeifer A, et al. Lack of an endothelial storeoperated Ca²⁺ current impairs agonist-dependent vasorelaxation in TRP4-/- mice. Nature Cell Biol, 2001, 3(2): 121-127
- [92] Kahlenberg J M, Lundberg K C, Kertesy S B, et al. Potentiation of

- caspase-1 activation by the P2X7 receptor is dependent on TLR signals and requires NF- κ B-driven protein synthesis. J Immunol, 2005, 175(11): 7611-7622
- [93] Ganong W F. Review of medical physiology. New York: Lange Medical Publications, 1985: 511
- [94] Songwei Wu, Haynes J, Taylor J T, et al. Cav3.1 (α1G) T-type Ca²⁺ channels mediate vaso-occlusion of sickled erythrocytes in lung microcirculation. Circ Res, 2003, 93(4): 346-353
- [95] Grynkiewicz G, Poenie M, Tsien R Y. A new generation of Ca²⁺ indicators with greatly improved fluorescence properties. J Biol Chem, 1985, 260: 3440-3450
- [96] Miyawaki A, Llopis J, Heim R, et al. Fluorescent indicators for Ca²⁺ based on green fluorescent proteins and calmodulin. Nature, 1997, 388: 882-887
- [97] Markus W W, Helmut B, Sandra B, et al. Generation of red-shifted cameleons for imaging Ca²⁺ dynamics of the endoplasmic reticulum. Sensors, 2015, 15(6): 13052-13068
- [98] Waldeck-Weiermair M, Alam M R, Khan M J, et al. Spatiotemporal correlations between cytosolic and mitochondrial Ca²⁺ signals using a novel red-shifted mitochondrial targeted cameleon. PLoS One, 2012, 7(9): e45917
- [99] Schilling W P, Rajan L, Meszaros J G, et al. Effect of U73122, an inhibitor of phospholipase C, on signal transduction in vascular endothelial cells. FASEB J, 1991, 5(4): A697
- [100] Schilling W P, Ritchie A K, Navarro L T, et al. Bradykininstimulated calcium influx in cultured bovine aortic endothelial cells. Am J Physiol, 1988, 255(2): 219-227
- [101] Goligorsky M S, Menton D N, Laszlo A, et al. Nature of thrombininduced sustained increase in cytosolic calcium concentration in cultured endothelial cells. J Biol Chem, 1989, 264(28): 16771-16775

Research Progress on Voltage-gated Calcium Channels and Their Functions in Endothelial Cells*

LI Shuang-Jun¹⁾, PAN Jun²⁾, CUI Yu-Hong^{1)**}

(1)School of Mechanical Engineering, Tianjin University, Tianjin 300350, China; 2)School of Bioengineering, Chongqing University, Chongqing 400044, China)

Abstract Endothelial cells, as non-excitable cells, were previously thought to lack functional voltage-gated calcium channels (VGCC), such as human umbilical vein endothelial cells, bovine pulmonary artery endothelial cells, bovine aortic endothelial cells, and bovine aorta endothelial cells. With the development of patch clamp technology, fluorescence microscopy technology, and polymerase chain reaction (PCR) technology, more and more VGCC are found in various endothelial cells, such as human aortic endothelial cells, rat aortic endothelial cells, and rat pulmonary microvascular endothelial cells. At present, there are 3 main detection methods for the existence of VGCC: the detection of ion channel current by patch clamp technology, the detection of intracellular calcium ion concentration change by fluorescence microscopy technology, and the detection of ion channel gene or protein expression by PCR. Endothelial cells are not only the physical barrier between blood and other adjacent tissue cells and matrix proteins, but more importantly, exert a significant influence on the physiological changes of cell and vascular tissues through the opening and closing of VGCC on the cell membrane. On the one hand, the effect of VGCC on the change of intracellular calcium ion concentration controls the release of vasodilators such as nitric oxide (NO) and regulates the balance of vascular tone. On the other hand, VGCC, which is an important route for calcium ion inflow, affects endothelial cell migration and proliferation through the induction of a kind of small G protein (Ras) and mitogen-activated proteinkinase kinase (MEK) pathways, the phosphonic acidification of phosphatidylinositol 3 kinase (PI3K) and serine/threonine protein kinase (Akt) pathways. In addition, some physiological phenomena, such as mechanical strain generated by intravascular pressure and shear stress associated with blood flow, activate VGCC by activating mechanical bodies, causing the ATP-sensitive potassium channel (K_{ato}) channel to close, causing endothelial cell membranes to depolarize; the binding of some receptors and ligands and the opening and closing of ion channels require the participation of VGCC, such as the opening and closing of potassium ion channels with bradykinin as activator and cation channels with histamine as activator. Hence, in view of the important functions of VGCC in regulating the excitability, secretion and migration of endothelial cells, in-depth and extensive research on VGCC is of great significance for revealing and treating endothelial functional diseases such as essential hypertension and atherosclerosis.

Key words endothelial cells, voltage-gated calcium channels, calcium concentration, vasodilation and contraction of vascular endothelium, cell excitation and migration

DOI: 10.16476/j.pibb.2021.0118

^{*} This work was supported by grants from The National Natural Science Foundation of China (11972252) and Tianjin Natural Science Foundation (17JCYBJC29300).

^{**} Corresponding author.